

工大工学部 正量 能町純雄
工員工業大学 同 大島俊之
同 同 ○ 高橋義裕

1. まえがき

図のような上部床板を下から逆ラティラーフレート形式で内力を垂直板で支持している構造は、一般に設計では平面的に逆ラティラーフレート構造として解析されるが、床板は平板の理論を導入するなどよりこの構造を立体的に解析することができる。本論では床板を帯板要素法(Finite Strip Method)で解く、帯板の凹凸をラティラーフレート木板で支持しているとき、代償剪断力(Compensate Shear)を加えてコーナーの剪断力と鉛直部荷重を考慮して、あつてあるものと考える。

荷重として横荷重などいろいろ考えられるが、

本論では床板に垂直に作用する図1のような荷重を考える。

2. 帯板要素の解式

平板の微分方程式 $N \Delta^2 W = q$ (1) N : 板の曲げ剛性。

$b \ll l$ とし、 x 方向に $-l$ は無限種分变换、 y 方向には有限フーリエ変換し、 y 方向に逆変換すると次式を得る。 $\eta = \frac{y}{b}$

$$W_m = W_{mb} Q_m(1-\eta) + W_{mo} Q_m(\eta) - b^2 P_m(1-\eta) / \left\{ \frac{d^2 W_m}{dy^2} - m^2 W_m \right\}_0 - b^2 P_m(\eta) / \left\{ \frac{d^2 W_m}{dy^2} - m^2 W_m \right\}_0 \quad (2) \quad (\eta = \frac{y}{b})$$

$$\equiv \sum_{n=1}^{\infty} \frac{n\pi b}{b^2 + (m\pi/b)^2} \sin \frac{n\pi}{b} y = \frac{\sinh mb(1-\eta)}{\sinh mb} \quad (3)$$

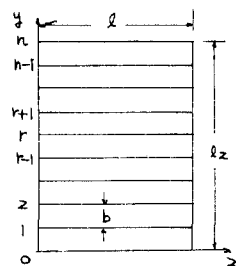


図. 2

$$P_m(\eta) = \frac{z}{b} \sum_{n=1}^{\infty} \frac{n\pi b}{b^2 + (m\pi/b)^2} \sin \frac{n\pi}{b} y = \frac{z \sinh mb(z-\eta) - (z-\eta) \sinh mbz}{z m^2 (\cosh zmb - 1)} \quad (4)$$

$P_m(\eta)$ 、 $Q_m(\eta)$ は Bernoulli の多項式による $\frac{d^2 W}{dy^2} = -\frac{M^*}{N}$ と $\theta = \frac{\partial W}{\partial y}$ である。 $w = w_0 f^0(\eta) + w_b f^0(1-\eta) + \frac{M^*}{N} b^2 f^3(\eta) + \frac{M^*}{N} b^2 f^3(1-\eta)$ (5)

$$N \Delta^2 W = (-M_b^* + N \bar{w}_b) f^0(1-\eta) + (-M_b^* + N \bar{w}_b) f^0(\eta) + b^2 (N \bar{w}_b - M_b^*) f^3(1-\eta) + b^2 (N \bar{w}_b - M_b^*) f^3(\eta) \quad (6)$$

$$\text{左端 } f^0(\eta) = 1, \quad f^3(\eta) = \frac{1}{2} \eta (1-\eta)(2-\eta), \quad = 4\eta^2 - 12\eta + 9, \quad \theta = \frac{\partial W}{\partial y}, \quad S = -N \frac{\partial^2 W}{\partial y^2} \quad (7)$$

$$\theta_{r,r+1} = \frac{1}{b} (w_{r+1} - w_r) + \frac{b}{6N} (2M_r^* + M_{r+1}^*), \quad \theta_{r,r-1} = \frac{1}{b} (w_r - w_{r-1}) - \frac{b}{6N} (2M_r^* + M_{r-1}^*) \quad (8), (9)$$

$$S_{r,r+1} = \frac{1}{b} (M_{r+1}^* - M_r^*) - \frac{N}{b} (w_{r+1} - w_r) + \frac{b}{3} (M_{r+1}^* - N \bar{w}_{r+1}) + \frac{b}{3} (M_{r+1}^* - N \bar{w}_{r+1}) \quad (10)$$

$$S_{r,r-1} = \frac{1}{b} (M_r^* - M_{r-1}^*) - \frac{N}{b} (w_r - w_{r-1}) - \frac{b}{3} (M_r^* - N \bar{w}_r) - \frac{b}{3} (M_{r-1}^* - N \bar{w}_{r-1}) \quad (11)$$

3. ラティラーフレートの理論式

接合線を $\eta = z$ 、境界条件を剪断力 $S > 0$ 限り満足する。

$$\frac{1}{b} \Delta^2 w_{r+1} + \frac{b}{6N} (6M_r^* + \Delta^2 r M_{r+1}^*) = 0 \quad (12)$$

$$\frac{1}{b} \Delta^2 r M_{r-1}^* - \frac{N}{b} \Delta^2 r \tilde{w}_{r-1} + \frac{b}{b} (6 M_r^* + \Delta^2 r M_{r-1}^*) - \frac{bN}{b} (6 \tilde{w}_r + \Delta^2 r \tilde{w}_{r-1}) + p_r = 0 \quad (13)$$

(12), (13) 式を和分式で表す。右辺を置換する。 $y=0, y=N$ のときに単純支持の条件を入力する。

$$\frac{1}{b} D_i S_i [\tilde{w}_{rm}] - \frac{b}{N} (1 - \frac{D_i}{b}) S_i [M_{rm}^*] = 0, \quad (14) \text{ ただし } D_i = 2(1 - \cos \frac{\pi i}{N})$$

$$\{ \frac{D_i}{b} + b(1 - \frac{D_i}{b})(\frac{m\pi}{L})^2 \} S_i [M_{rm}^*] + \{ \frac{N}{b} D_i (\frac{m\pi}{L})^2 + bN(1 - \frac{D_i}{b})(\frac{m\pi}{L}) \} S_i [\tilde{w}_{rm}] = -b(1 - \frac{D_i}{b})(\frac{m\pi}{L}) \times$$

$$\{ S_i [M_{ro}^*] (-1)^m - S_i [M_{ro}] \} - \frac{N}{b} D_i (\frac{m\pi}{L}) \{ S_i [w_{ro}] (-1)^m - S_i [w_{ro}] \} + bN(1 - \frac{D_i}{b})(\frac{m\pi}{L}) \times \{ S_i [\tilde{w}_{ro}] \} - bN(1 - \frac{D_i}{b})(\frac{m\pi}{L})^3 \{ S_i [w_{ro}] (-1)^m - S_i [w_{ro}] \} + S_i [P_{rm}] \quad (15)$$

$$\text{ただし } S_i [\tilde{w}_{rm}] = \sum_r \left(\int_0^L w_{rm}(x) \sin \frac{m\pi x}{L} dx \right) \sin \frac{i\pi r}{N}, \quad S_i [M_{rm}^*] = \sum_r \left(\int_0^L M_{rm}^*(x) \sin \frac{m\pi x}{L} dx \right) \sin \frac{i\pi r}{N}$$

$$S_i [P_{rm}] = \sum_r \left(\int_0^L P_{rm}(x) \sin \frac{m\pi x}{L} dx \right) \sin \frac{i\pi r}{N}, \quad \text{単純支持条件で } w_{rm}(0) = 0, M_{rm}^*(0) = 0 \text{ とします。}$$

(14), (15) 式を解く。 $S_i [M_{rm}^*]$, $S_i [\tilde{w}_{rm}]$ は $n=2$ 階の解で、 x を向かって左側に進むと解く。

$$S_i [M_r^*] = \frac{zb^3}{a_{10} a_{30}} \left[\frac{1}{4} P(3) + P(-3) \{ S_i [M_{ro}] \} + \frac{1}{4} Q_1(3) + Q_1(-3) + Q_2(3) + Q_2(-3) \{ S_i [w_{ro}] \} + \frac{1}{4} R(3) + R(-3) \{ S_i [\tilde{w}_{ro}] \} + S_i [P_r^*] \right] \quad (16)$$

$$S_i [w_{rm}] = \frac{b^2}{ND_i} (1 - \frac{D_i}{b}) \cdot S_i [M_r^*] \quad (i \neq 0, n \neq 0) \quad (17) \text{ ただし, } P(3), Q_1(3), Q_2(3), R(3) \text{ は}$$

$m=1$ までの無限級数で $m \leq 3$ までの式。部分分式に分けた級数と重根の関係式で表わせます。 a_{10} は $m=1$ の項の係数で、 a_{30} は $m=3$ の項の係数で、 $S_i [P_r^*] = \sum_m \frac{1}{m^4 + \bar{a}_{20} m^2 + \bar{a}_{30}} S_i [P_{rm}] \sin \frac{m\pi r}{N}$

$$\bar{a}_{20} = \frac{a_{20}}{a_{10}} \left(\frac{L}{N} \right)^2, \quad \bar{a}_{30} = \frac{a_{30}}{a_{10}} \left(\frac{L}{N} \right)^4, \quad a_{10} = \frac{b^3}{D_i} (1 - \frac{D_i}{b}), \quad a_{30} = \frac{L}{b} D_i$$

4. 境界条件

荷重、変形を対称と考えると、境界で $S_i [M_{ro}]$, $S_i [w_{ro}]$, $S_i [\tilde{w}_{ro}]$ が $\neq 0$ の未知境界条件をもつ。左端を固定する 1) $x=0$ における境界条件、2) $x=0$ における剪断力の条件。

3) $x=0$ における自由な条件は三種の境界条件式を立てること。

$$1) \text{ 条件 } 1) \quad \frac{1}{b} D_i S_i [w_{ro}] - \frac{b}{N} (1 - \frac{D_i}{b}) S_i [M_{ro}] = 0 \quad (18)$$

$$2) \text{ 条件 } 1) \quad S_{nr+1}(0) - S_{nr-1}(0) + S_{nr}(0) = 0 \quad (19) \quad \text{ただし}$$

$$S_r(0) = -N \frac{\partial}{\partial y} \{ \Delta W + (1-r) \frac{\partial^2 W}{\partial x^2} \}, \quad \Delta W = \frac{\partial^2 W}{\partial x^2} + \frac{\partial^2 W}{\partial y^2}.$$

$$S_{nr+1} = \frac{1}{b} (M_{r+1}^* - M_r^*) - \frac{N}{b} (\tilde{w}_{r+1} - \tilde{w}_r) + \frac{(2-r)b}{6} [z(M_{r+1}^* - N\tilde{w}_r) + (M_{r+1}^* - N\tilde{w}_{r+1})] \\ - (1-r)N \left[\frac{1}{b} (\tilde{w}_{r+1} - \tilde{w}_r) + \frac{b}{6} (2\tilde{w}_r + \tilde{w}_{r+1}) \right] \quad (20)$$

$$S_{nr-1} = \frac{1}{b} (M_r^* - M_{r-1}^*) - \frac{N}{b} (\tilde{w}_r - \tilde{w}_{r-1}) - \frac{(2-r)b}{6} [z(M_r^* - N\tilde{w}_r) + (M_{r-1}^* - N\tilde{w}_{r-1})] \\ - (1-r)N \left[\frac{1}{b} (\tilde{w}_r - \tilde{w}_{r-1}) - \frac{b}{6} (2\tilde{w}_r + \tilde{w}_{r-1}) \right] \quad (21) \quad (20), (21) \text{ 式を代入して } 1) \text{ 式を和分式で表す。}$$

73c.

$$-\frac{D_i}{b} S_i [M_{ro}] - \frac{(2-r)ND_i}{6b} S_i [\tilde{w}_{ro}] + (2-r)b(1 - \frac{D_i}{b})(S_i [M_{ro}] - NS_i [\tilde{w}_{ro}]) - (1-r)bN(1 - \frac{D_i}{b}) \times \\ S_i [\tilde{w}_{ro}] + S_i [S_{nr}(0)] = 0 \quad (22) \quad S_i [S_{nr}(0)] = \sum_r S_{nr}(0) \sin \frac{i\pi r}{N}$$

$$3) \text{ 条件 } 1) \quad v S_i [M_{ro}] - N S_i [\tilde{w}_{ro}] = 0 \quad (23)$$

$S_{nr} = \frac{EA_{nr}}{2I_{yy}} (W_r^8 - \tilde{w}_r^8) \quad (24). \quad \exists \text{ が } A_{nr} \text{ 下側の水平方向の面積と } I_{yy} \text{ が } W_r^8 \text{ を角材の断面積と部材長。 } W_r^8 \text{ は } A_{nr} \text{ 下側面積。 } A_{nr} \text{ は } A_{nr} \text{ 下側面積。 } S_{nr} \text{ は } S_{nr} \text{ 下側面積。 }$

数値計算例を示す。これを用いて、各点の応力を算出する。下の構造は四角形で、同じ手順で解析できます。

文献 1) Nomachi, Ozaki, Matsukawa: On a Method of Stress Calculation for the Bending of Plate by Means of Long Strip Elements; Proc. of the 19th Jap. Natl. Conf. Appl. Mech. (1969)

2) Timoshenko, Krieger: Theory of Plates and Shells (McGraw Hill, 1940)